

تأثير الشحنة على قدرة ايقاف الايونات الثقيلة البطيئة و السريعة Charge Effect Of Stopping Power for Swift and Slow Heavy Ions

د. راشد عويد كاظم
جامعة الكوفة/ كلية التربية للبنات / قسم الفيزياء

الخلاصة:

تم دراسة تأثير الشحنة على قدرة الأيقاف للايونات الثقيلة البطيئة من خلال دالة عزل لندهارد باستخدام الطور العشوائي التقريري (*RPA*) وأستخدام قطب البلازمون التقريري (*PLA*) للايونات الثقيلة السريعة . أظهر البحث أن قدرة الأيقاف عند السرع العالية أكبر من السرع العالية للايونات الساقطة وكذلك اعتماد قدرة الأيقاف على العدد الذري للايونات الساقطة . تم حل الصيغ العددية التي أستخدمت في البحث بواسطة برنامج حاسوبي يتضمن برامج فرعية بلغة فورتران- 90 .

Abstract:

Charge effect of stopping power for slow heavy ions through Lindhard dielectric function have been studied by using the random phase approximation (RPA) and also using the plasmon pole approximation (PLA) for fast incident ions. The investigation shows stopping power at low velocities greater than the stopping power at fast velocities, as well as, the dependence of stopping power on atomic number for incident ions (z_1) . The numerical formulas, found in the research, were solved by using computer program in (Fortran- 90) language with many subroutines .

المقدمة:

ان لقدرة الأيقاف أهمية كبيرة في الفيزياء الذرية ، وذلك لتاثيرها على عمليات فقدان الطاقة خلال الهدف الذري . وتعرف قدرة الأيقاف على انها معدل الطاقة المفقودة لوحدة المسار (dE/dx) [1] . في هذا البحث تمت دراسة تأثير الشحنة على قدرة ايقاف الايونات الثقيلة باعتماد الطور العشوائي التقريري (*RPA*) عند السرع الواطئة وقطب البلازمون التقريري (*PLA*) عند السرع العالية ، وذلك من خلال برمجة المعادلات الموجودة في البحث حيث تم اعتماد الطرق العددية والتحليلية في حل هذه العادلات وباستخدام البرنامج التشغيلي (Compiler Visual Fortran V.6.6) .

1- الجانب النظري:

تعرف دالة العزل ($\epsilon(\omega)$) كزخم وطاقة متحولة [1] كما يمكن تعريفها الكتروستاتيكيا في حدود المجال الكهربائي (E) والاستقطاب (P) [2] .

$$D = E + 4\pi P \quad (1)$$

حيث D - تمثل العزم المزدوج (*Moment couple*).

تقسم دوال العزل الى عدة أنواع اعتمادا على نوع التقريب المستخدم وعلى سرعة الايونات الساقطة . أن دالة عزل لندهارد والتي تمثل أستجابة الوسط بأستخدام تقريب الطور العشوائي التقريري (*RPA*) *random phase approximation* عند السرع الواطئة تعطى بالمعادلة الآتية [3] .

$$\epsilon(\omega) = 1 - \frac{\omega_p^2}{\omega(\omega + i\gamma)}, \gamma \rightarrow 0 \quad (2)$$

حيث (ω) - تمثل دالة العزل (*Dielectric function*).

ω - التردد البلازمي (*Plasmon frequency*).

ω_p - التردد البلازمي للوسط (*Plasmon frequency for medium*).

γ - عامل الأضمحلال (*Damping factor*).

بينما يستخدم تقريب قطب البلازمون التقريري (*PLA*) *plasmon pole approximation* عندما تكون سرعة الايونات الساقطة عالية ($v > v_{thr}$) . أن دالة العزل التي تحتوي على التقريب (*PLA*) هي كالاتي [4] .

$$\varepsilon(k, w) = 1 + \frac{\omega_p^2}{\omega_g^2 + \beta^2 k^2 + \frac{k^4}{4} - \omega(\omega + i\gamma)} \quad (3)$$

حيث v – السرعة للايون الساقط [Incident velocity]

v_{thr} - سرعة العتبة [Threshold velocity]

ω_g - تردد فجوة الطاقة [Frequency for energy gap]

$$\beta = \sqrt{\frac{3}{5v_f}} \text{ تمثل سرعة انتشار كثافة الاضطراب في الغاز الالكتروني.}$$

$k^2/4$ - تمثل الطاقة الحركية k - العدد الموجى

v_f - سرعة فيرمي [Fermi velocity]

لقد تم حساب قدرة الایقاف (S) وفقا للنظرية الخطية للجسيمات المشحونة باستخدام الصيغة الآتية [5].

$$S = \frac{2Z_1^2}{\pi v} \int_0^{\infty} \frac{dk}{k} \int_0^{kv} \omega d\omega \operatorname{Im} \left[\frac{-1}{\varepsilon(k, w)} \right] \quad (4)$$

حيث Z_1 العدد الذري للايون الساقط.

2-الحسابات والنتائج Results and Calculation:

(i) - حساب قدرة الایقاف عند السرع الواطنة .

أعتمدنا تقريب الطور العشوائي التقريري (RPA) في دالة العزل لاستفاق الجزء الخيالي وبأيجاد المقلوب لجزء الخيالي توصلنا الى المعادلة الآتية .

$$\operatorname{Im} \left(\frac{-1}{\varepsilon(k, \omega)} \right) = \frac{2k\omega}{[k^2 + k_D^2]^2} \quad (5)$$

$$k_D^2 = \frac{4k_f}{\pi}$$

حيث k_f - زخم فيرمي

k_D^2 - مربع العدد الموجى الحاجب .

وبتعويض معادلة الجزء الخيالي (5) في معادلة الایقاف (4) وبأشتقاق المعادلة الاخيرة نصل الى المعادلة اللازمه لحساب قدرة الایقاف عندما ($\gamma \rightarrow 0$) والمتمثلة بالمعادلة الآتية [6].

$$S(v) = \frac{2z_1^2 v}{3} \left[\ln \left(1 + \frac{\pi}{\alpha r_s} \right) - \left(\frac{1}{1 + \frac{\alpha r_s}{\pi}} \right) \right] \quad (6)$$

$$\alpha = \left(\frac{4}{9} \right)^{\frac{1}{3}}$$

حيث أن معادلة (6) تمثل الاثارة الناتجة عن الجسيمات الاحادية ، فعند الكثافة العالية فأن ($I < r_s$) وهذا يؤدي الى $\pi/\alpha r_s > I$ فتصبح المعادلة بالشكل التالي .

$$S = \frac{2z_1^2 v}{3\pi} \ln \left(\frac{\pi}{\alpha r_s} \right) \quad (7)$$

و هذه المعادلة تتفق مع النتائج التي توصل اليها (توماس – فيرمي) بالاعتماد على الطور العشوائي التقريري عندما ($\gamma \rightarrow 0$).

الشكل (1) يوضح أعتماد قدرة الإيقاف على العدد الذري للايون الساقط (z_1) حيث ظهر أن قدرة الإيقاف تزداد بزيادة العدد الذري . الشكل (2) يوضح العلاقة بين قدرة الإيقاف للايونات الثقيلة (C, N, Ar, I, U) كدالة لنصف القطر للاهداف (Au, C, Al, Cs) عند السرعة ($v=0.3au$) . وبمقارنة النتائج التي حصلنا عليها مع نتائج المصدر [7] نجد أنها مقاربة .

(ii) - حساب قدرة الإيقاف عند السرع العالية .

تم أشتقاق قدرة الإيقاف عند السرع العالية بالاعتماد على قطب البلازمون التقريري (PLA) والمتمثل بالمعادلة (3) وصولاً إلى الجزء الخيالي .

$$\text{Im}\left(\frac{-1}{\varepsilon(k, \omega)}\right) = \left(\frac{\pi\omega_p^2}{2A}\right)\delta(\omega - A) \quad (8)$$

حيث A - العدد الكتلي ، δ - دالة ديراك .

وبتعويض معادلة (8) في معادلة الإيقاف (4) وأجراء التكاملات على المعادلة الأخيرة وذلك بالاعتماد على دالة ديراك نحصل على معادلة حساب الطاقة المفقودة (9) عندما ($\gamma \rightarrow 0$) .

$$S = \frac{z_1^2 \omega_p^2}{v_1^2} \ln \frac{k^+}{k^-} \quad (9)$$

حيث

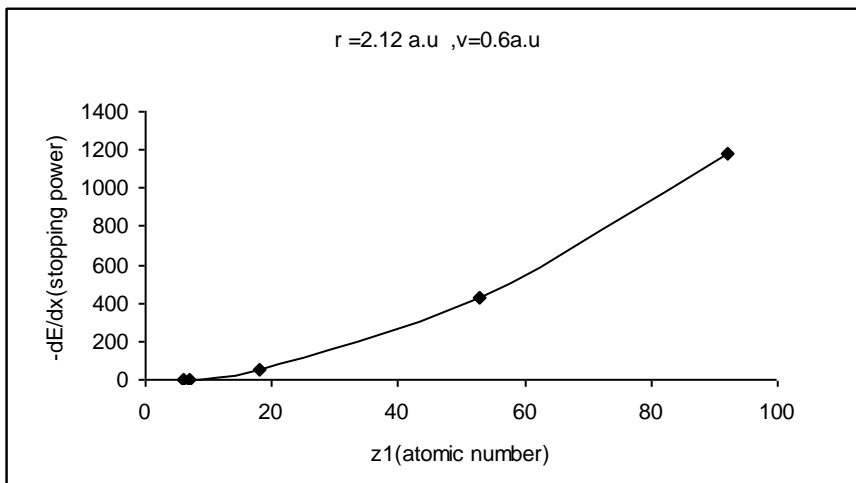
$$k^\pm = \left\{ 2(v^2 - \beta^2) \pm 2\left[(v^2 - \beta^2)^2 - \Omega_p^2\right]^{\frac{1}{2}} \right\}^{\frac{1}{2}}$$

$$\beta^2 = \frac{3}{5} k_f^2 , \quad \Omega_p^2 = (\omega_p^2 + \omega_g^2)^{\frac{1}{2}} , \quad \omega_p = \frac{3^{\frac{1}{3}}}{r_s^{\frac{3}{2}}}$$

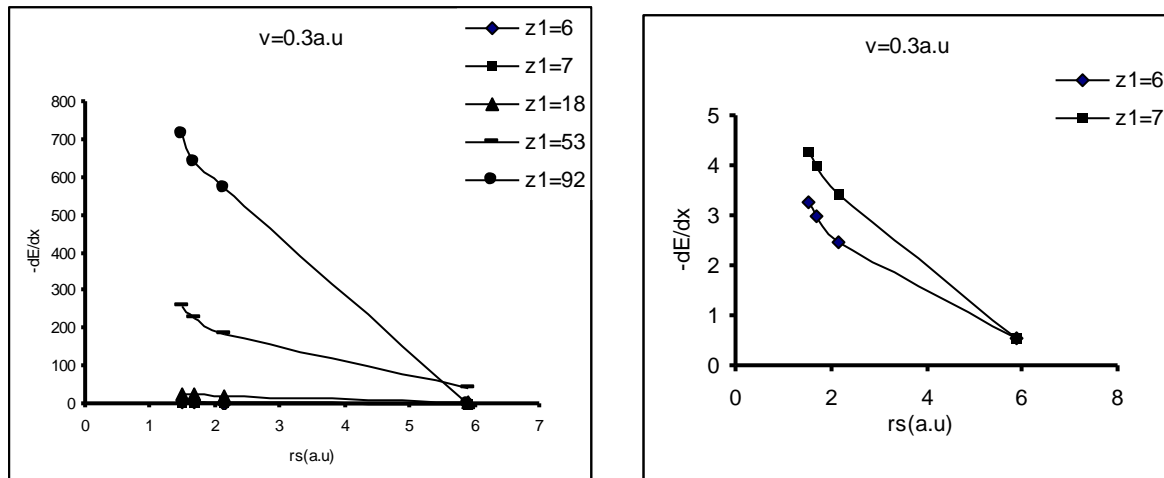
r_s - نصف قطر الكثافة الإلكترونية.

الشكل (3) يبين أعتماد قدرة الإيقاف على العدد الذري للايونات الساقطة (C, N, Ar, I, U) كدالة لنصف القطر للاهداف (Au, C, Al, Cs) عند السرعة ($v=12a.u$) والتي ظهرت بأنها تزداد بزيادة العدد الذري للايون الساقط كما في الشكل (4) .

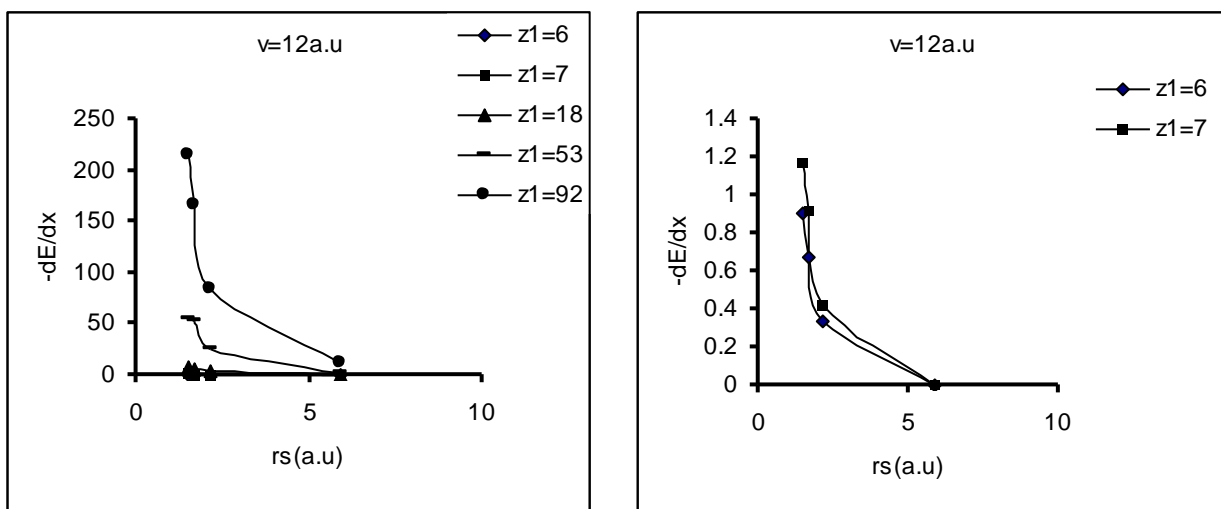
تم حل المعادلات الرياضية عددياً باستخدام برنامج حاسوبي بأعتماد طريقة (*Gaussian*) أو (*Simpson*) في حل التكاملات عددياً .



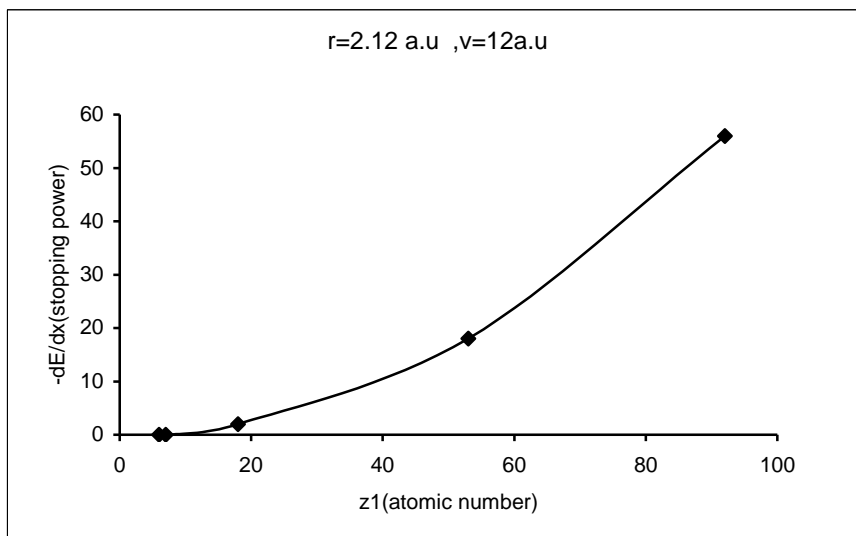
شكل (1): يوضح العلاقة بين قدرة الإيقاف كدالة للعدد الذري z_1 للايونات الثقيلة (C, N, Ar, I, U) على هدف الالمنيوم . ($r_s=2.12a.u$) ($v=0.6 a.u$) .



شكل (2): يوضح العلاقة بين قدرة الایقاف للايونات الثقيلة (C,N,Ar,I,U) كدالة لنصف القطر للاهداف . ($v=0.3\text{ a.u}$) عند السرعة (Au,C,Al,Cs)



شكل (3): يوضح العلاقة بين قدرة الایقاف للايونات الثقيلة (C,N,Ar,I,U) كدالة لنصف القطر للاهداف . ($v=12\text{ a.u}$) عند السرعة (Au,C,Al,Cs)



شكل (4): يوضح العلاقة بين قدرة الايقاف دالة للعدد الذري z_1 للايونات الثقيلة (C, N, Ar, I, U) على هدف الالمنيوم .($r_s=2.12$ a.u) للسرعة العالية ($v=12a.u$).

3-المناقشة:

نلاحظ عند السرع الواطئة ($0.1-1a.u$) يكون الايقاف اكبر من السرع العالية ($10-20a.u$) وكما توضحه الاشكال (1,2,3,4) ، أن السبب في ذلك يعود الى تولد جهد محت في سطح المصلب ، وهذا ناتج من تفاعل الايونات الثقيلة مع سطح الهدف . عند السرع الواطئة تحدث عمليات تغير الشحنة (أسر وفقدان الألكترون) مما يسبب في زيادة فقدان الطاقة . كذلك تؤثر التقربيات المستخدمة على قدرة الايقاف فنجد قدرة الايقاف بأدخال تقريب الطور العشوائي (S_{RPA}) عند السرع الواطئة تكون أكبر من قدرة الايقاف بأدخال تقريب قطب البلازمون (S_{PLA}) عند السرع العالية . كما تتأثر قدرة الايقاف بالعدد الذري للايون الساقط (z_1) والسبب في ذلك أن مناطق السرع الواطئة يكون التصادم فيها بين الذرات فيها (z_1) بنظر الاعتبار حيث يكون فقدان الطاقة قليل ، ولكن سرعة الجسيم تكون بطئه يحصل أكبر قدر ممكن من التصادمات ، أما في مناطق السرع العالية فإن التصادم يحدث بين الألكترونات ونظراً لكون كتلة الألكترون صغيرة فلا يؤخذ (z_1) بنظر الاعتبار . فنلاحظ أعتماد قدرة الايقاف على (z_1) كبير عند السرع الواطئة . كذلك نجد عدم تأثر قدرة الايقاف بالعدد الذري للهدف (z_2) وتناسبها العكسي مع كل من (r_s) و (v) حيث يقل الايقاف كلما زاد اختراق الجسيمة داخل الهدف بسبب قلة عمليات تغير الشحنة .

المصادر :

- [1]-D.Pines ,Electron Interaction in solid . characteristic energy loss spectrum, Phy.Vol.113 ,No.5, (1959).
- [2]-R.Nunez ,P.M.Echenique and H.Ritchie, The energy loss of energetic ions moving near a solid surface ,Phys.C.solid st. Phys.13 (1980).
- [3]-Arista Nestor, Dynamical image potential and induced forces for charged particles moving parallel to solid surface ,Phys. Rev. A, Vol.49, No.3 (1994).
- [4]-H.Winter ,J.I.Juaristi and I.Nagy, Energy loss of slow ions in an anion uniform electron gas ,Phys.Rev.B 67, 245401(2003).
- [5]-T.L.Ferrell and R.H.Ritchie ,Energy losses by slow ions and atoms to electronic excitation in solids ,Phys. Rev. B,Vol.16,No.1(1977).
- [6]-I.Abril ,G.Rafael, Dielectric description of wakes and stopping power in solids ,Phys.Rev. A, Vol.58 No.1(1998).
- [7]-J.M.Pitarke and Campillo, Quadratic response theory for the interaction of charged particles with an electron gas ,scanning microscopy ,Vol.12,No.1(1998).